

Handreichung zum Praktikumsversuch

Frequenzganganalyse

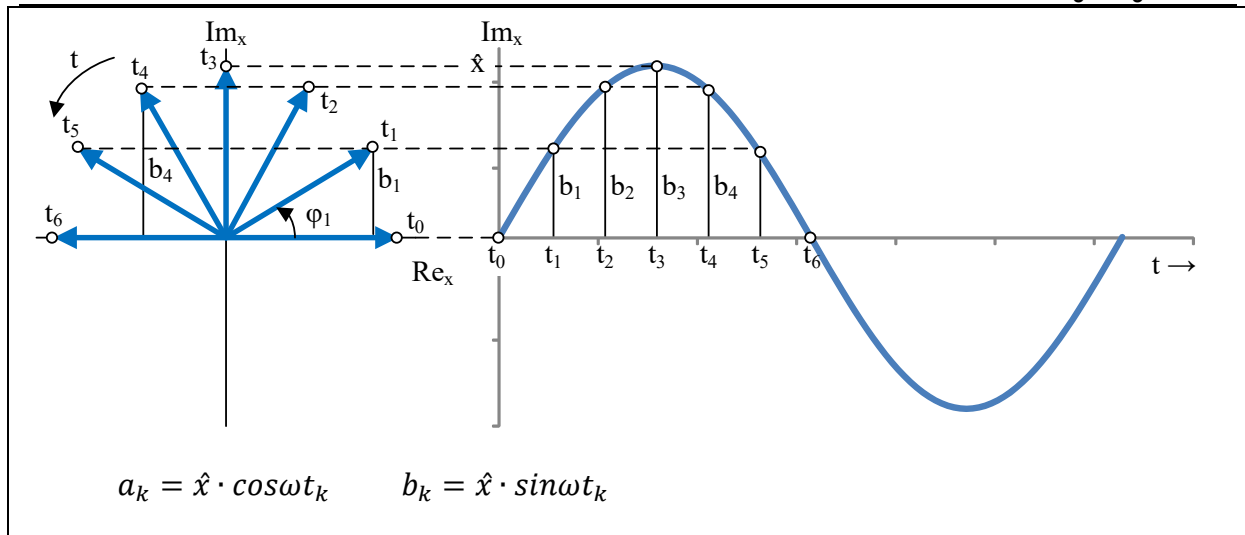


Abbildung 1: Harmonische Schwingung in Zeigerbild und Zeitfunktion

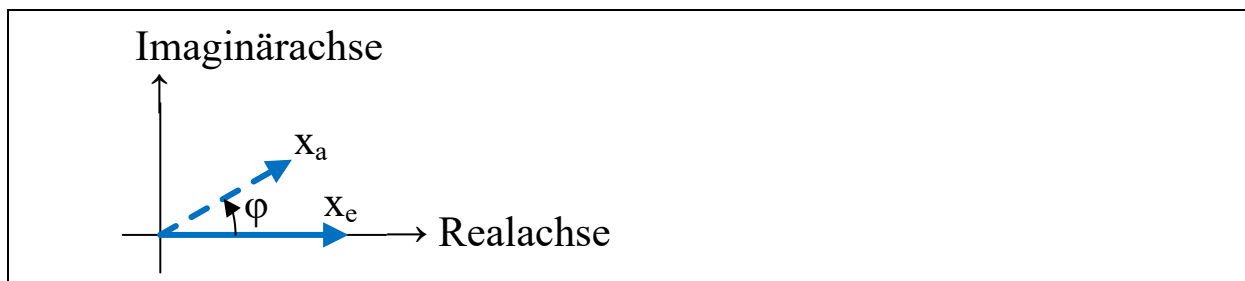


Abbildung 2: Phasenverschiebung φ von x_a , bezogen auf x_e

$$e^{j\varphi} = \cos \varphi + j \cdot \sin \varphi \text{ (Eulersche Formel)}$$

$$\cos^2 \varphi + \sin^2 \varphi = 1$$

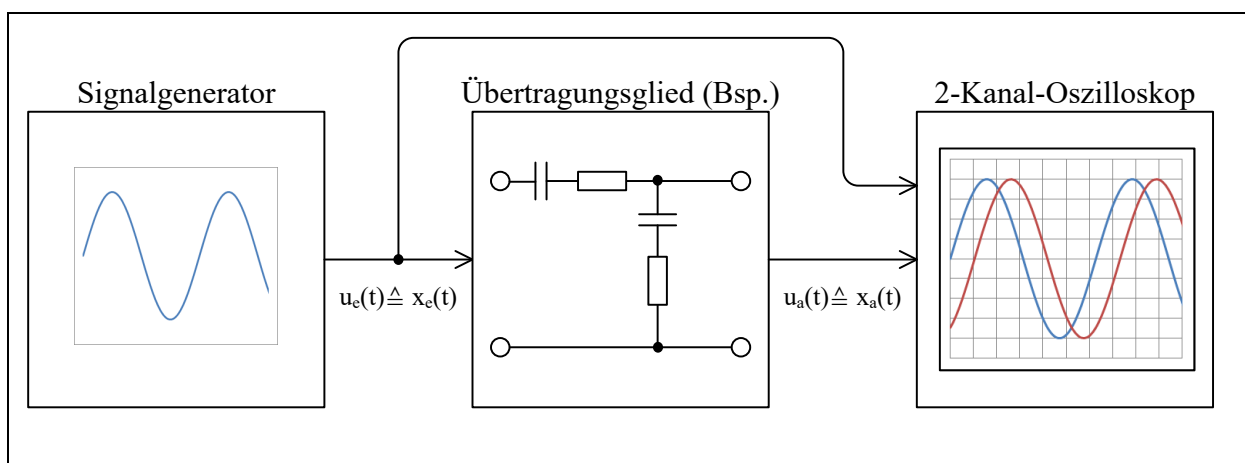


Abbildung 3: Messprinzip zur Frequenzganganalyse

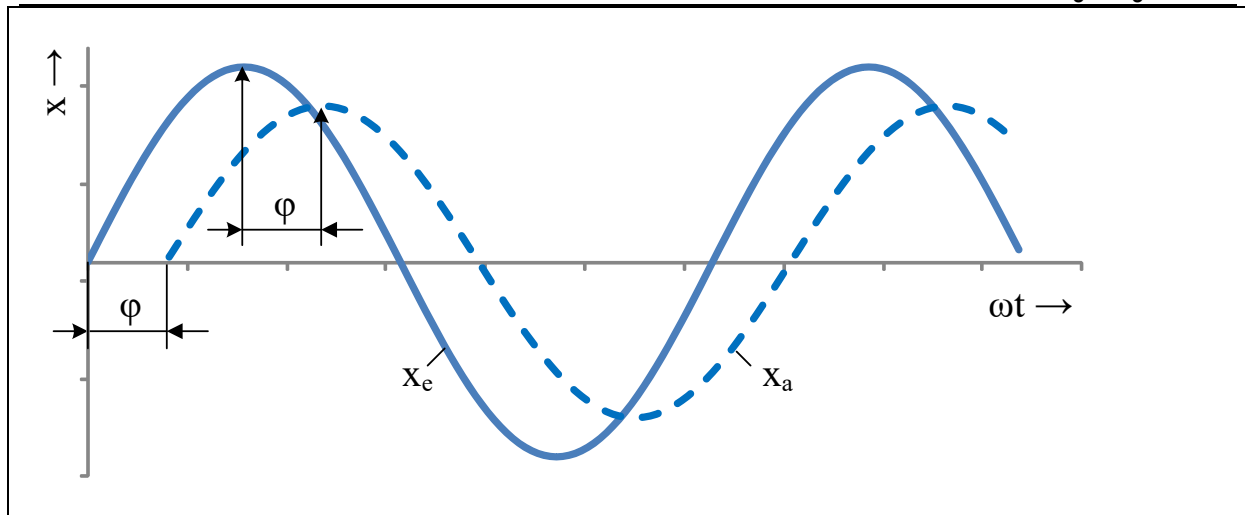


Abbildung 4: Verlauf der Signalgrößen $x_e(t)$ und $x_a(t)$

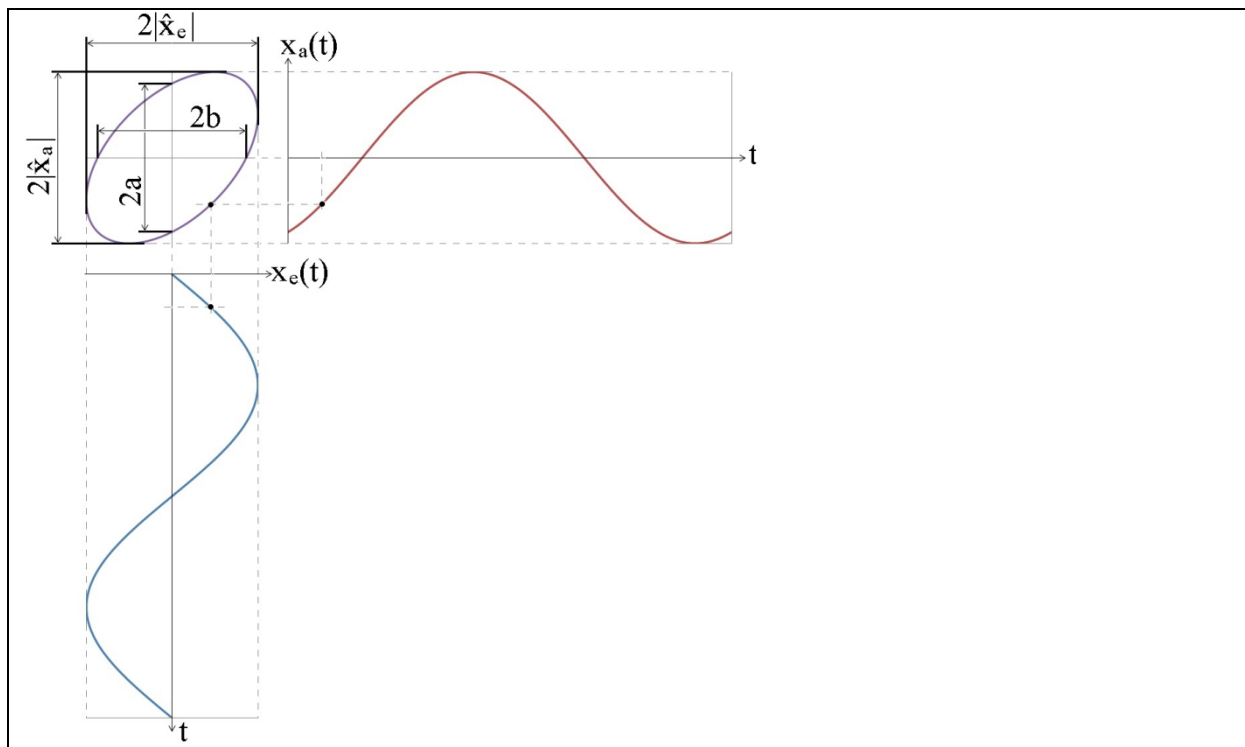


Abbildung 5: Entstehung der Lissajous-Figur (Ellipse) auf dem Oszilloskopbildschirm

Grafische Darstellung des Frequenzgangs:

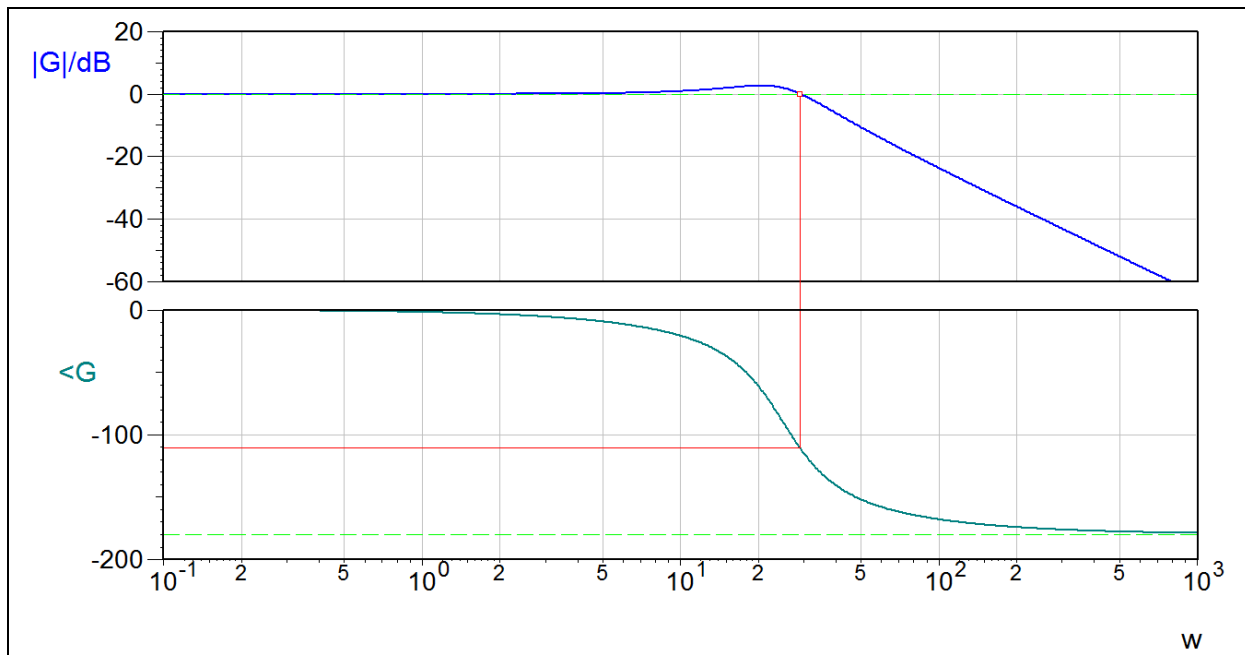


Abbildung 6: Bode-Diagramm mit Amplitudengang (oben) und Phasengang (unten)

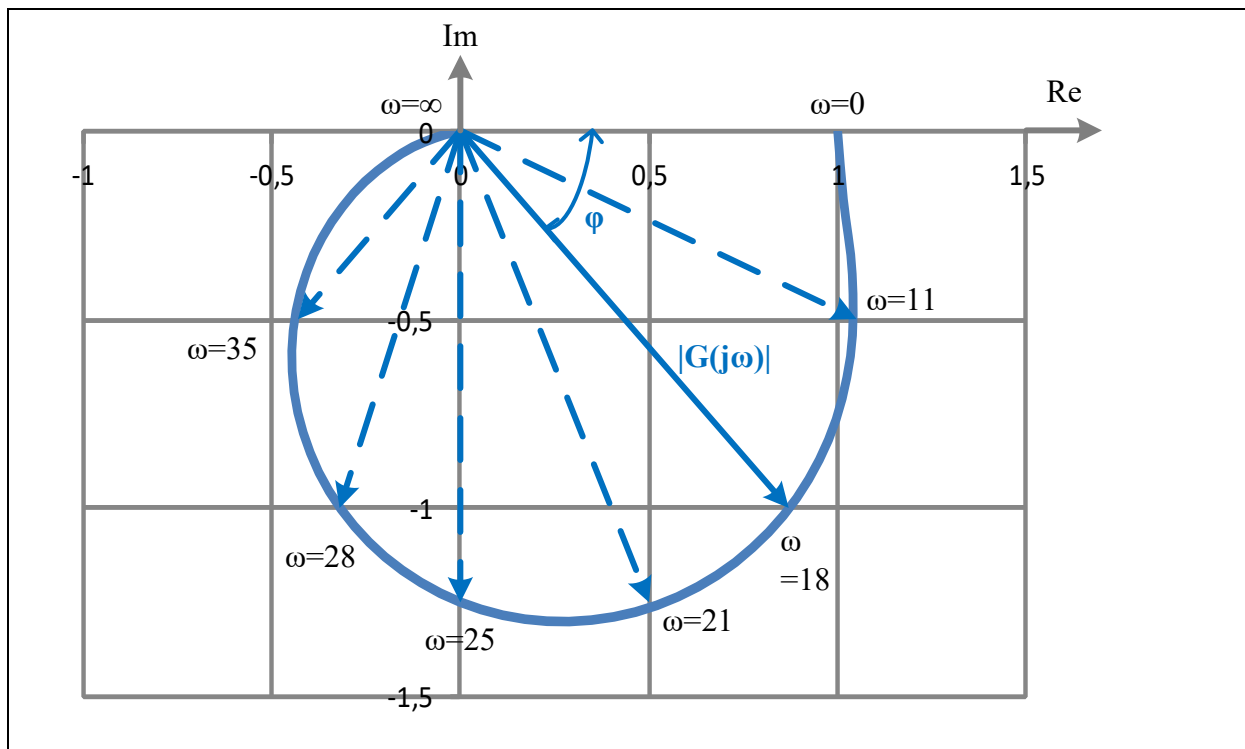


Abbildung 7: Ortskurve

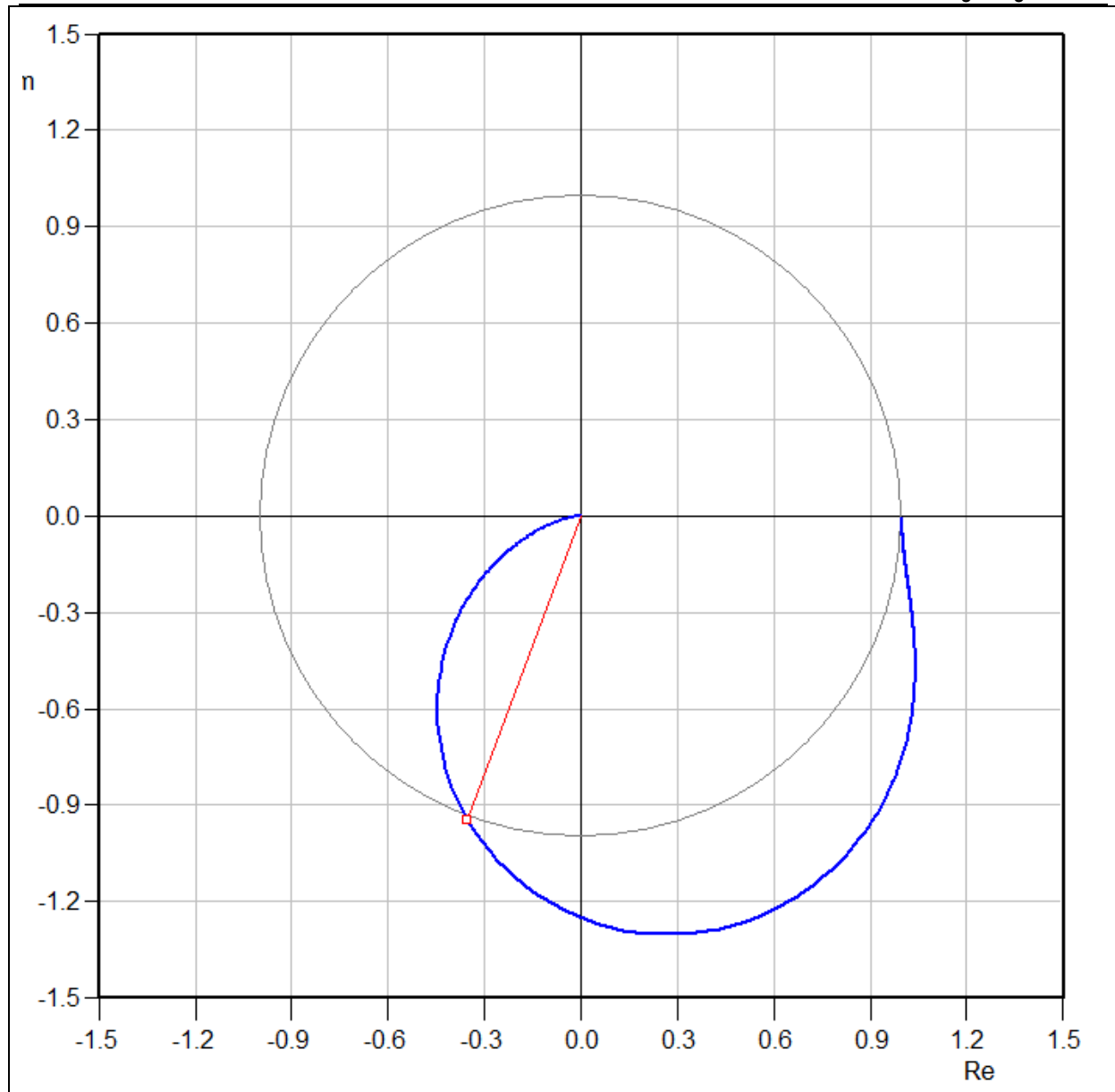
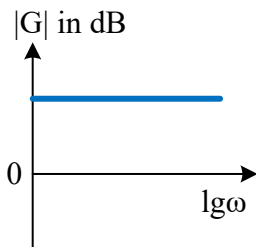
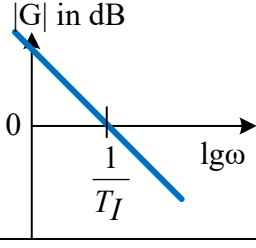
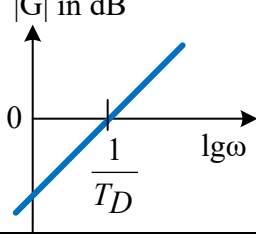
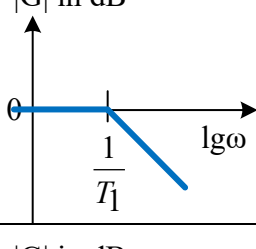
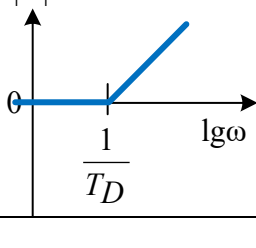


Abbildung 8: Ortskurve mit Einheitskreis und Hilfslinie

Tabelle 1: Geradenapproximation des Amplitudenganges für einfache Übertragungsglieder

Systemverhalten	Approximierter Amplitudengang
P-Verhalten $G(j\omega) = K$	
I-Verhalten $G(j\omega) = \frac{1}{j\omega T_I}$	
D-Verhalten $G(j\omega) = j\omega T_D$	
T₁-Verhalten $G(j\omega) = \frac{1}{1 + j\omega T_1}$	
PD-Verhalten $G(j\omega) = 1 + j\omega T_D$	

Konstruktion logarithmischer Frequenzgänge:

Beispiel: Gegeben sei folgende Frequenzganggleichung:

$$G(j\omega) = \frac{1+j\omega T_D}{(1+j\omega T_1)(1+j\omega T_2)} \quad \text{mit} \quad T_D = 0,5s; \quad T_1 = 2,5s; \quad T_2 = 0,025s$$

→ Zerlegung von $G(j\omega)$ in Faktoren:

$$G(j\omega) = (1 + j\omega T_D) \cdot \frac{1}{1+j\omega T_1} \cdot \frac{1}{1+j\omega T_2} = G_1(j\omega) \cdot G_2(j\omega) \cdot G_3(j\omega)$$

$$\text{mit} \quad G_1(j\omega) = 1 + j\omega T_D; \quad G_2(j\omega) = \frac{1}{1+j\omega T_1}; \quad G_3(j\omega) = \frac{1}{1+j\omega T_2}$$

→ Logarithmierung der zerlegten Frequenzganggleichung

$$\lg[G(j\omega)] = \lg[G_1(j\omega) \cdot G_2(j\omega) \cdot G_3(j\omega)] = \lg G_1(j\omega) + \lg G_2(j\omega) + \lg G_3(j\omega)$$

$$\lg[G(j\omega)] = \lg(1 + j\omega T_D) + \lg \frac{1}{1+j\omega T_1} + \lg \frac{1}{1+j\omega T_2}$$

$$\rightarrow \omega_{e1} = \frac{1}{T_D} = 2s^{-1}; \quad \omega_{e2} = \frac{1}{T_1} = 0,4s^{-1}; \quad \omega_{e3} = \frac{1}{T_2} = 40s^{-1}$$

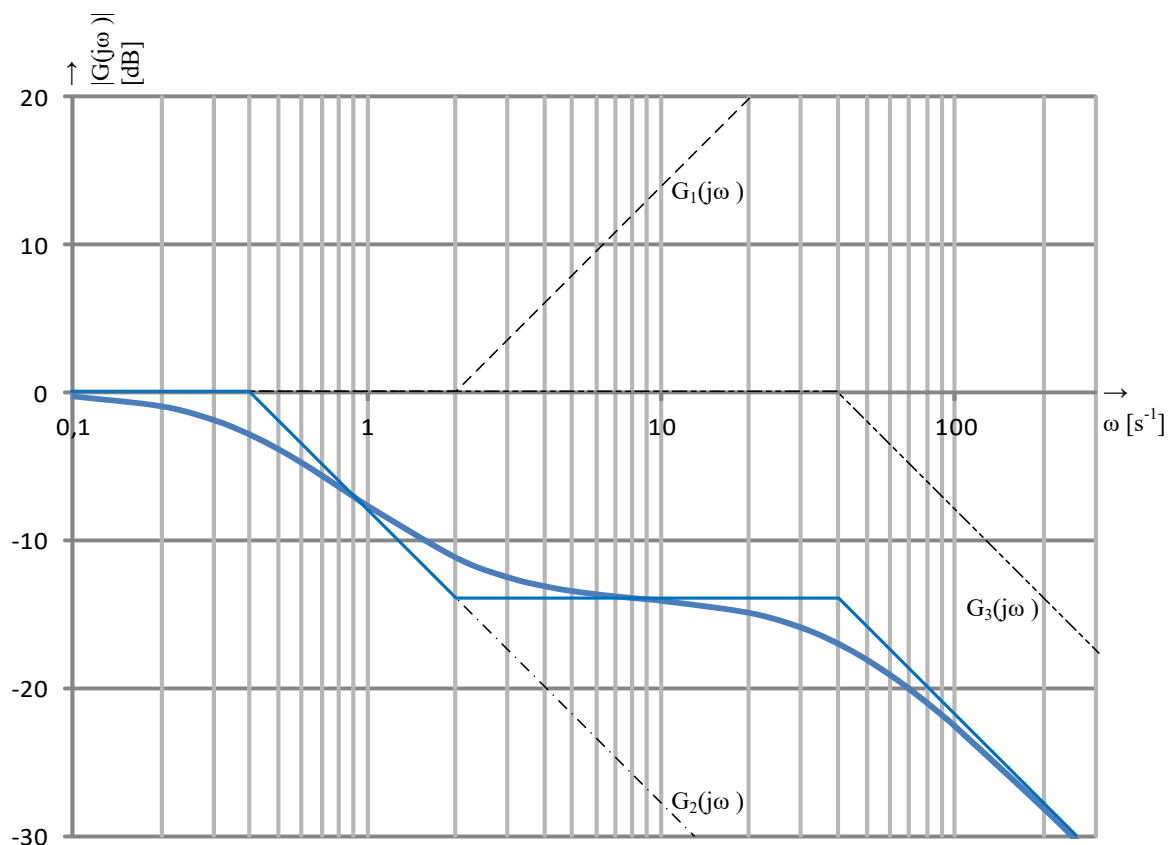
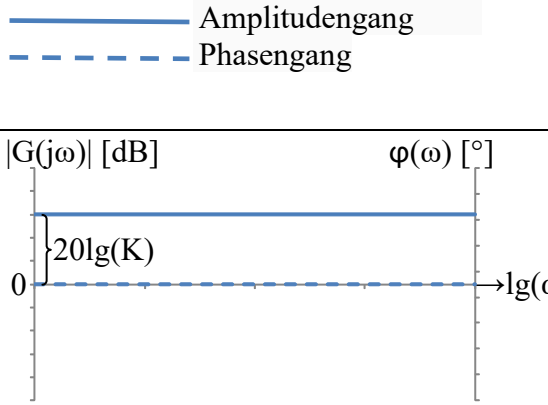
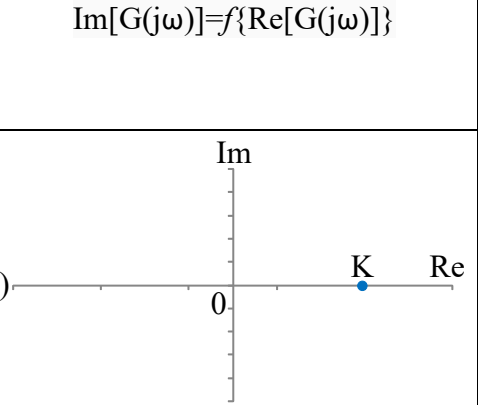
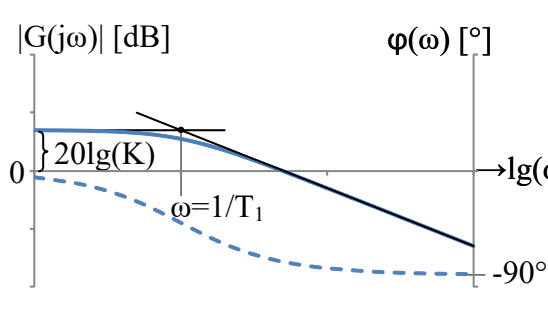
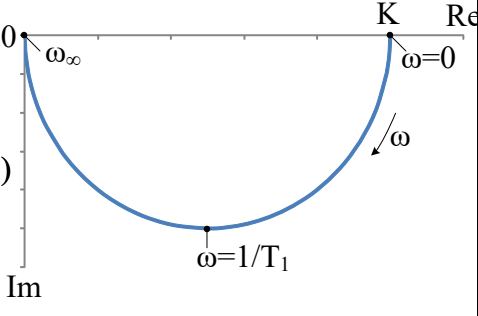
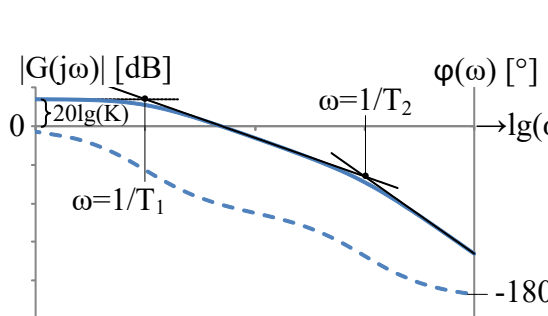
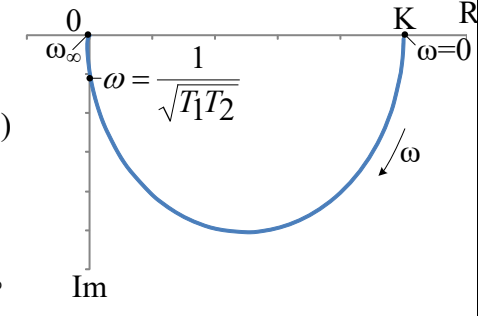
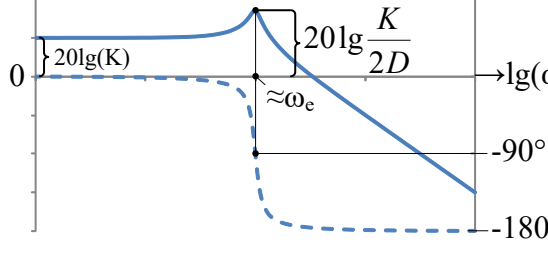
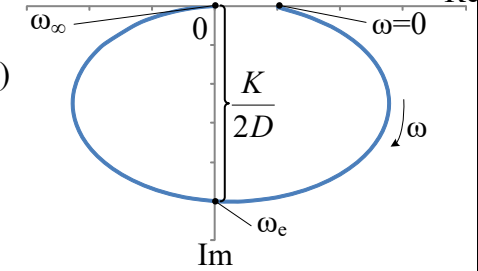


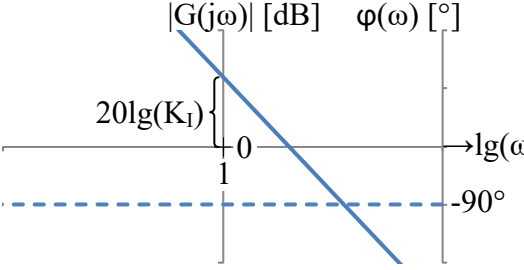
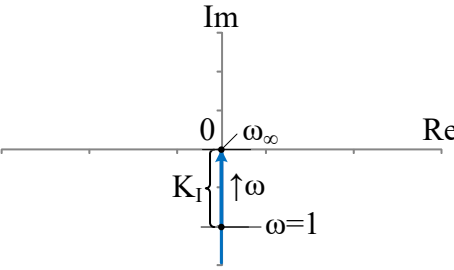
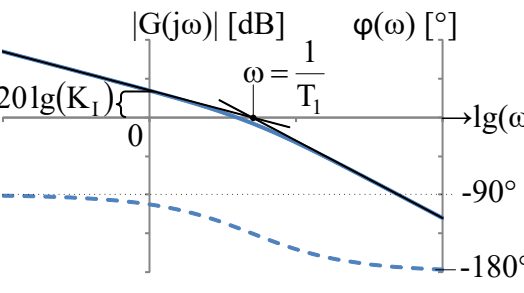
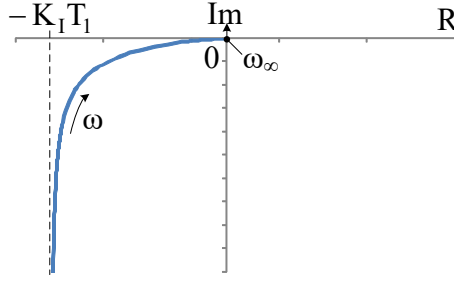
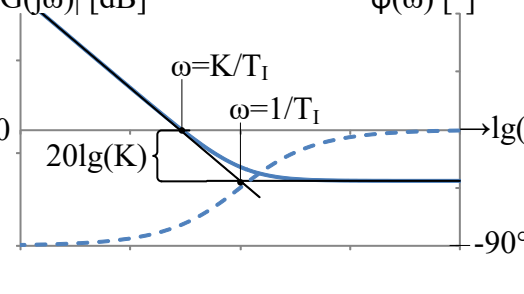
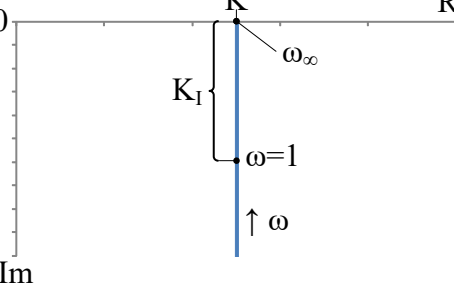
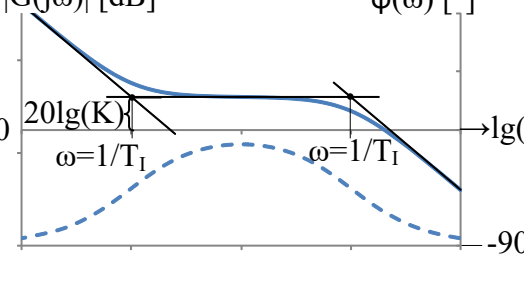
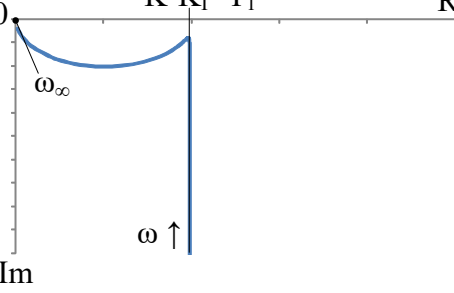
Abbildung 9: Konstruktion des logarithmischen Amplitudenganges (grafische Addition)

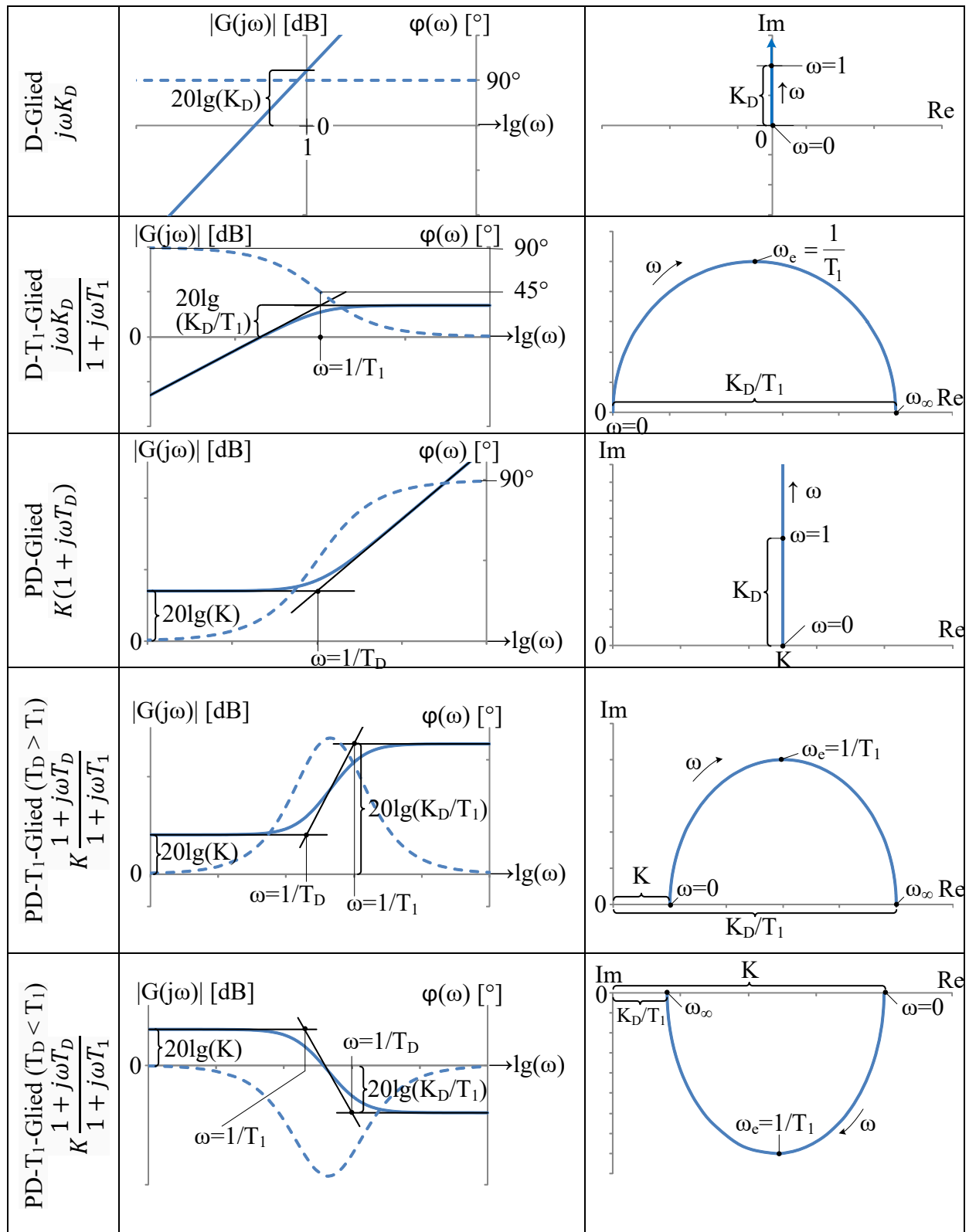
Beachte: Geradenanstieg a der Asymptoten im logarithmischen Amplitudengang immer:

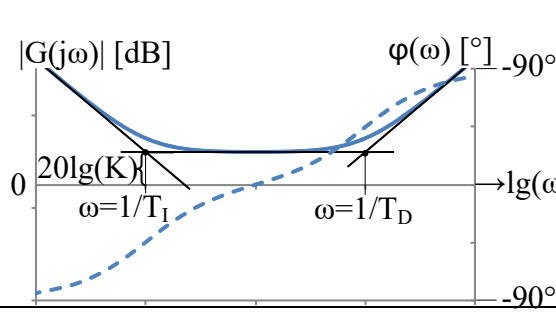
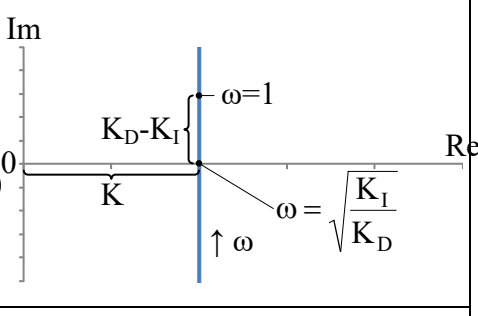
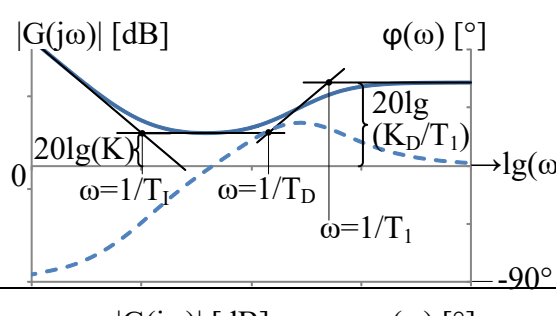
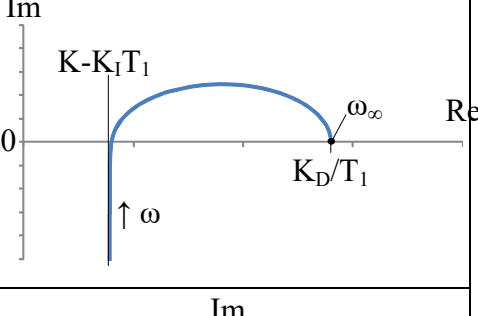
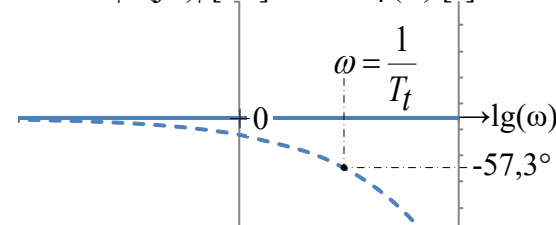
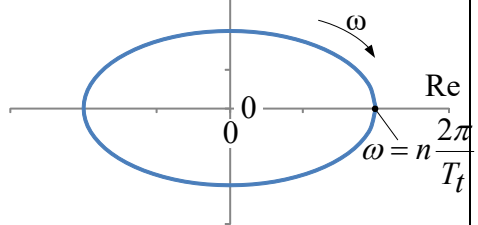
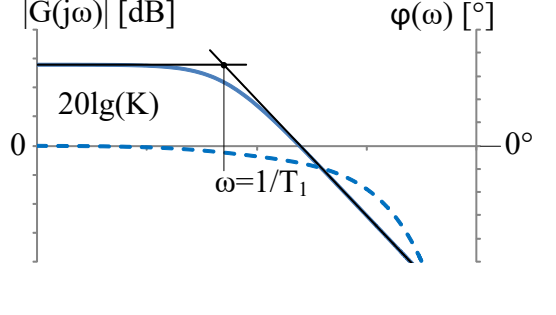
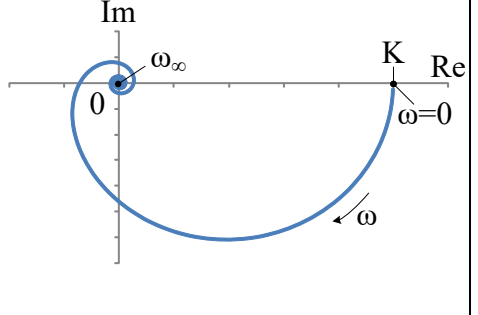
$$a = \frac{[dB]}{[Dec]} = k \cdot \frac{20dB}{Dec} \quad \text{mit } k \in \mathbb{N}; \quad (Dec \dots \text{Dekade})$$

Tabelle 2: Übertragungsverhalten linearer Glieder (Ortskurve und Bode-Diagramm)

Bezeichnung [$G(j\omega)$ =]	Bode-Diagramm	Ortskurve
P-Glied K		
P-T ₁ -Glied $\frac{K}{1 + j\omega T_1}$		
P-T ₂ (N)-Glied $\frac{K}{(1 + j\omega T_1) \cdot (1 + j\omega T_2)}$		
P-T ₂ (S)-Glied $\frac{K}{1 + j\omega \frac{2D}{\omega_e} + (j\omega)^2 \frac{1}{\omega_e^2}}$		

<p>I-Glied $\frac{K_I}{j\omega}$</p>		
<p>I-T₁-Glied $\frac{K_I}{j\omega(1+j\omega T_1)}$</p>		
<p>PI-Glied $K \left(1 + \frac{1}{j\omega T_I}\right)$</p>		
<p>PI-T₁-Glied $\frac{K \left(1 + \frac{1}{j\omega T_I}\right)}{1+j\omega T_1}$</p>		



PID-Glied $K \left(1 + \frac{1}{j\omega T_I} + j\omega T_D \right)$		
PID-T_I-Glied $\frac{K \left(1 + \frac{1}{j\omega T_I} + j\omega T_D \right)}{1 + j\omega T_1}$		
T_I-Glied $e^{-j\omega T_t}$		
P-T_I-T_I-Glied $\frac{K \cdot e^{-j\omega T_t}}{1 + j\omega T_1}$		
Allpass-Glied $\frac{1 - j\omega T_1}{1 + j\omega T_1}$	